### TD Physique n°5: Approche énergétique du mouvement d'un point matériel

#### **Application du cours**

### Application n°1: Travail de forces conservative usuelles

- 1. Exprimer le travail du poids (dans un champ de pesanteur  $\vec{g}$  uniforme)
- 2. Exprimer le travail de la force de rappel d'un ressort (de constante de raideur k)

# Application n°2: Distance de freinage

Une voiture de masse  $m = 1.5 \times 10^3 \text{kg}$  roule à la vitesse de 50 km.  $h^{-1}$  sur une route horizontale. Devant un imprévu, le conducteur freine brutalement et s'arrête sur une distance d = 15 m. On modélise la force de freinage par une force constante opposée à la vitesse.

- 1. Calculer le travail de la force de freinage
- 2. En déduire la norme de cette force.

### Application n°3: Energies potentielles de pesanteur et élastique

- 1. Déterminer l'expression de l'énergie potentielle de pesanteur (dans un champ de pesanteur  $\vec{g}$  uniforme)
- 2. Déterminer l'expression de l'énergie potentielle élastique (pour un ressort de de constante de raideur k)

# Application n°4: Toboggan

Un adulte (m=70kg) descend un toboggan d'une hauteur h=5,0m faisant un angle  $\alpha$ =45° avec le sol. On prendra g = 9,8 m. s<sup>-2</sup>

- 1. Déterminer la vitesse de la personne en bas du toboggan en absence de frottement.
- 2. En réalité il s'exerce une force de frottement  $\vec{T}$  dont la norme est  $\|\vec{T}\| = f\|\vec{R}\|$ , où f = 0.40 est le coefficient de frottement et  $\vec{R}$  la réaction normale. Déterminer alors la vitesse de la personne en prenant en compte cette force de frottement.

#### Révisions BCPST1

#### Révision n°1 : Skieur sur une pente

Un skieur descend une piste selon la ligne de plus grande pente faisant un angle  $\alpha$  avec l'horizontale. L'air exerce une force de frottement supposée de la forme  $\vec{F} = -\lambda \vec{v}$ , où  $\lambda$  est un coefficient constant positif et  $\vec{v}$  la vitesse du skieur. On note  $\vec{T}$  et  $\vec{N}$ , les composantes tangentielle et normale de la réaction exercée par la neige, et f le coefficient de frottement dynamique tel que :  $\|\vec{T}\| = f \|\vec{N}\|$ . On choisit comme origine de l'axe (Ox) de la ligne de la plus grande pente la position initiale du skieur, supposée partir à l'instant initial avec une vitesse négligeable. On note (Oy) la normale à la piste dirigée vers le haut.

- 1. Calculer les normes de  $\vec{T}$  et  $\vec{N}$ .
- 2. Calculer la vitesse et la position du skieur à chaque instant.
- 3. Montrer qu'elle atteint une vitesse limite  $v_{lim}$ . Réalisez l'application numérique avec  $\lambda = 8.8 \ kg. \ s^{-1}$ ,  $m = 80 \ kg$ ,  $\alpha = 45^{\circ}$  et f = 0.055.
- 4. Exprimer puis calculer la date  $t_1$  à laquelle le skieur à une vitesse égale à  $v_{lim}/2$ .
- 5. A la date  $t_1$ , le skieur tombe. On néglige la résistance de l'air, et on considère que le coefficient de frottement sur le sol est multiplié par 20. Calculer la distance parcourue par le skieur avant de s'arrêter.

#### Révision n°2 : Constante de raideur d'un ressort

### Comment déterminer par deux méthodes différentes la constante de raideur d'un ressort ?

#### Révision n°3: Sédimentation d'un globule rouge

On étudie la sédimentation d'un globule rouge dans le plasma sanguin, sous l'effet de la pesanteur. On choisit un axe Oz descendant pour repérer sa position. Le globule rouge est sphérique, de rayon  $R=2~\mu m$  et de masse volumique  $\mu_0=1300~kg.m^{-3}$ ; la force de frottement qu'il subit, s'écrit:  $\vec{f}=-\alpha\vec{v}$ , où  $\alpha$  est une constante positive. Le plasma, de masse volumique  $\mu=1055~kg.m^{-3}$  et de viscosité  $\eta=5~mP\ell$ , se trouve dans un tube à essais de hauteur H=5~cm.

- 1. Déterminer l'équation différentielle du mouvement du globule, satisfaite par sa vitesse vz.
- 2. Montrer qu'il existe une vitesse limite, notée  $v_{\infty}$ .
- 3. On suppose que cette vitesse limite est atteinte très rapidement. Calculer la durée de la sédimentation. Comparer à un temps  $\tau$ , que l'on définira, caractéristique du phénomène de sédimentation. Conclure.

#### Révision n°4 : Flottabilité d'un glaçon

Afin d'analyser l'éventuel impact de la fonte des icebergs sur l'élévation du niveau des océans, on propose d'étudier une situation modèle. On considère l'équilibre d'un glaçon, constitué d'eau pure, dans un récipient contenant de l'eau liquide (voir figure 6).

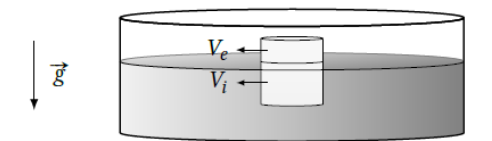


Figure 6 – Glaçon flottant dans un récipient rempli d'eau liquide. Le volume émergé du glaçon est noté  $V_e$ , le volume immergé  $V_i$ .

- 14. Donner l'expression de la poussée d'Archimède  $\vec{\Pi}$  que l'eau liquide exerce sur le glaçon en fonction du volume immergé  $V_i$ , de la masse volumique  $\rho_\ell$  de l'eau liquide et de l'accélération de la pesanteur  $\vec{g}$ .
- 15. Rappeler la nature des actions mécaniques à l'origine de la poussée d'Archimède.
- 16. On fait l'hypothèse que la poussée d'Archimède exercée par l'air est négligeable devant celle exercée par l'eau. Préciser néanmoins le sens de la poussée d'Archimède exercée par l'air sur le glaçon.
- 17. Exprimer le volume émergé  $V_e$  en fonction du volume immergé  $V_i$  et des masses volumiques de l'eau liquide  $\rho_\ell$  et de la glace  $\rho_g$ .

On repère le niveau de l'eau liquide dans le récipient juste après avoir déposé le glaçon et juste après la fonte de celui-ci.

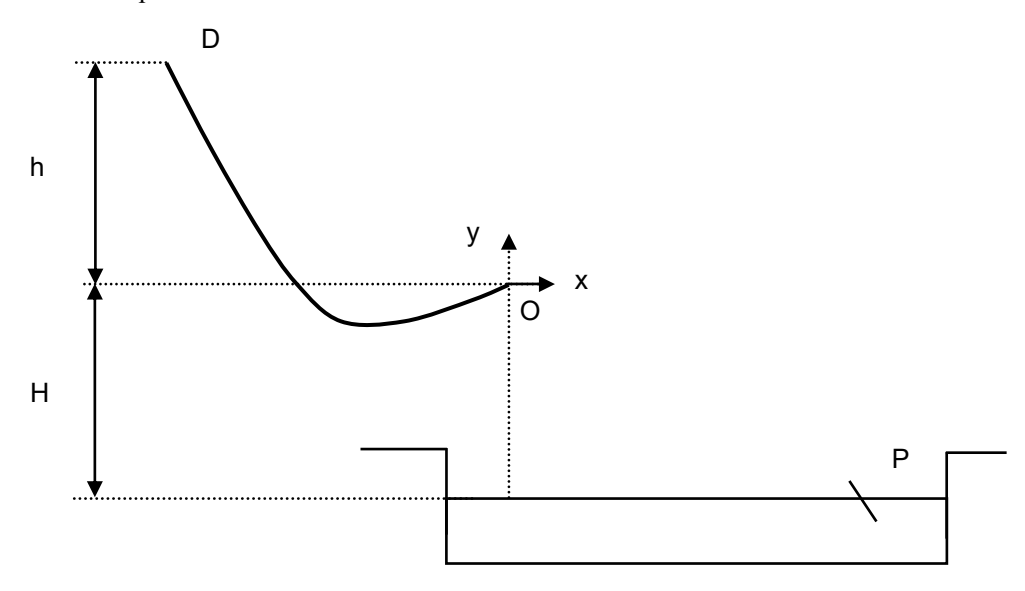
- 18. Justifier que le niveau d'eau liquide dans le récipient ne varie pas après la fonte du glaçon.
- 19. Préciser si ce résultat se maintient dans le cas où le glaçon constitué d'eau pure flotte dans de l'eau salée, de masse volumique supérieure à celle de l'eau pure.
- 20. Conclure quant à l'éventuelle contribution de la fonte des icebergs à l'élévation du niveau des océans.

### Exercice 1 (BCPST1+2) \*: Etude du mouvement d'un enfant sur un toboggan

Un enfant glisse le long d'un toboggan de plage

Un toboggan de plage est constitué par :

- une piste DO qui permet à un enfant partant de D sans vitesse initiale d'atteindre le point O avec un vecteur vitesse  $\overrightarrow{V_0}$  faisant un angle  $\alpha$  avec l'horizontale ;
- une piscine de réception : la surface de l'eau se trouve à une distance H au-dessous de O.



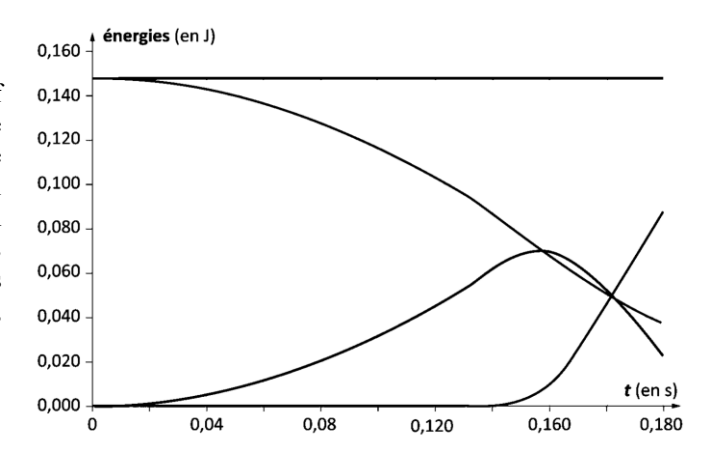
#### Données:

- Masse de l'enfant : m = 35 kg;
- Intensité de la pesanteur :  $g = 10 \text{ m.s}^{-2}$ ;
- Dénivellation h = 5.0 m;
- Hauteur H = 0.50 m;
- Angle  $\alpha = 30^{\circ}$ ;

### Proposer un modèle pour estimer l'abscisse $x_P$ du point d'impact P de l'enfant dans l'eau.

### Exercice n°2 : Saut à l'élastique

Pour illustrer un saut à l'élastique en laboratoire, on envisage le dispositif suivant : un solide de masse m=65 g est attaché à un ressort, fixé verticalement, de masse négligeable, de longueur au repos  $\ell_0$  et de constante de raideur k. Le solide est lâché sans vitesse initiale. Il parcourt une partie de sa trajectoire en chute libre avant de subir l'action du ressort. Un logiciel de simulation permet de calculer les positions successives du solide et les valeurs des grandeurs énergétiques concernant le système  $\{\text{solide} \; ; \; \text{ressort}\} : l'énergie cinétique } E_{c}, l'énergie potentielle de pesanteur <math>E_{pp}$ , l'énergie potentielle élastique  $E_{pe}$  emmagasinée par le ressort lorsqu'il s'étire, et l'énergie mécanique  $E_{m}$ . Les courbes correspondantes sont reproduites ci-dessous.

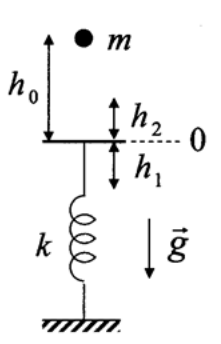


- (\*) Identifier, en justifiant, les courbes correspondant à chacune des énergies E<sub>c</sub>, E<sub>pp</sub>, E<sub>pe</sub> et E<sub>m</sub>. Justifier, en utilisant ces courbes, que les frottements de l'air ont un effet négligeable.
- 2. (\*) Déterminer en utilisant le graphique à quelle date  $t_1$  se termine la phase de chute libre puis calculer la hauteur  $h_0$  de chute correspondante.
- **3.** (\*) Calculer la vitesse du solide à cette date  $t_1$ .
- 4. (\*\*) Pour cette question et la suivante, on choisira un axe (Oz) orienté vers le bas. On se place à présent au-delà de la date t<sub>1</sub>. Etablir l'expression du travail de la force exercée par l'élastique entre la date t<sub>1</sub> et la date t<sub>max</sub>, date correspondant à l'extension maximale de l'élastique. Montrer à l'aide du théorème de l'énergie cinétique, que la distance h<sub>1</sub> parcourue à partir de cette date t<sub>1</sub> vérifie une équation du second degré. En déduire l'expression littérale de h<sub>1</sub>.
- **5.** (\*\*) Déterminer la hauteur totale de chute H.

### Exercice 3 : Théorème de l'énergie mécanique et ressort

Une boule de pâte à modeler de masse m = 250 g tombe en chute libre (vitesse initiale nulle) d'une hauteur  $h_0 = 40$  cm sur un plateau immobile, de masse négligeable, et supporté par un ressort. Au moment du contact, la boule s'immobilise sur le plateau avant d'osciller avec lui.

- 1. (\*\*) Sachant que le ressort a pour raideur  $k = 500 \text{ N} \cdot \text{m}^{-1}$ , déterminer la hauteur  $h_1$  dont s'affaisse le plateau.
- 2. (\*\*) Quelle est la hauteur maximale  $h_2$  atteinte par la boule lors des oscillations?
- 3. (\*) Comparer  $h_1$  et  $h_2$ .
- **4.** (\*) En réalité, les oscillations sont amorties et le système finit par s'immobiliser. Calculer la hauteur d'équilibre  $h_e$  et commenter la relation entre  $h_1$ ,  $h_2$  et  $h_e$ .



#### Exercice 4: Glissement et frottement sur la glace

Un palet de Hockey est fabriqué en caoutchouc avec une masse moyenne de 160 grammes. Sur la glace, le palet peut atteindre des vitesses exceptionnelles du fait de la puissance des joueurs. En Russie, lors des épreuves d'habileté de la Ligue continentale de hockey, le défenseur Aleksandr Riazantsev a établi un nouveau record du monde en janvier 2017 avec une frappe à 183,67 km h<sup>-1</sup> soit environ 50 m s<sup>-1</sup>.

Au cours d'une séance d'entraînement à ces épreuves d'habileté, un joueur de hockey propulse le palet, à l'aide de sa crosse, sur un plan recouvert de glace et incliné d'un angle  $\alpha=20^{\circ}$  par rapport à l'horizontale (figure 1). La position du centre d'inertie du palet est repérée sur un axe (Ox) de même direction que la ligne de plus grande pente et orienté vers le haut. On note (Oy) l'axe perpendiculaire au plan incliné et orienté vers le haut. Les vecteurs  $\overrightarrow{u_x}$  et  $\overrightarrow{u_y}$  sont des vecteurs unitaires dirigés respectivement selon les axes (Ox) et (Oy). Le centre d'inertie du palet est noté G. A l'instant initial, le palet se trouve à l'origine du repère. L'intensité du champ de pesanteur terrestre g est estimée à  $10 \text{ m s}^{-2}$ .

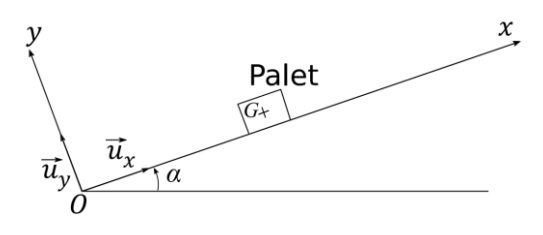


figure 1

Rappel: Modèle du frottement de glissement: Lois de Coulomb

On appelle action de contact l'action mécanique qu'exercent l'un sur l'autre deux solides dont les surfaces sont en contact.

Lorsque les deux solides en contact ne glissent pas l'un sur l'autre, on a :

$$\|\overrightarrow{R_T}\| \le f_S \|\overrightarrow{R_N}\|$$

où  $\overrightarrow{R_T}$  est la composante tangentielle et  $\overrightarrow{R_N}$  la composante normale de la réaction exercée par un solide sur l'autre.  $f_S$  est le coefficient d'adhérence (également appelé coefficient de frottement statique) qui dépend de la nature et de l'état des surfaces en contact.

Lorsque les deux solides en contact glissent l'un sur l'autre, on a :

$$\|\overrightarrow{R_T}\| = f_D \|\overrightarrow{R_N}\|$$

où  $f_D$  est le coefficient de frottement dynamique qui dépend de la nature et de l'état des surfaces en contact avec  $f_D < f_S$ .

Valeurs usuelles:

 $f_D$ (bois sur bois) = 0,40;  $f_D$ (caoutchouc sur glace) = 0,050;  $f_D$ (acier sur glace) = 0,020.

Dans une première phase (propulsion du palet par la crosse sur le plan incliné), on considère les *frottements comme négligeables*. La palette de la crosse est en contact avec le palet.

- 1. (BCPSTI) (\*) Établir un bilan des forces qui s'exercent sur le palet durant la propulsion et les représenter sur un schéma cohérent sans souci d'échelle.
- 2. (BCPST1) (\*) Exprimer l'intensité de la force de propulsion F exercée par le joueur sur le palet en fonction de l'accélération a du palet, de l'angle d'inclinaison  $\alpha$  du plan, de la masse m du palet et de l'intensité du champ de pesanteur g.

**3.** (BCPST1) (\*) Sachant que la propulsion due au joueur de hockey dure 0,5 seconde et que le mouvement est uniformément accéléré, quelle doit être l'intensité de la force de propulsion pour que le joueur égale le record du monde de vitesse sur ce plan incliné?

Dans une deuxième phase, le palet n'est plus en contact avec la crosse et est en mouvement de translation rectiligne vers le haut du plan incliné. On considère les *frottements comme négligeables*. On note  $v_0$  la vitesse initiale au début de cette deuxième phase.

- **4.** (BCPST1) (\*) Déterminer l'expression de x(t) déplacement du palet selon l'axe (Ox).
- 5. (BCPSTI) (\*) Montrer que la distance d parcourue par le palet avant de s'arrêter est donnée par la relation :  $d = \frac{v_0^2}{2gsin\alpha}$ , où  $v_0$  est la vitesse initiale selon l'axe (Ox) au début de la deuxième phase.

On cherche à établir la distance qui a été nécessaire pour que le palet s'arrête lors de l'établissement du record du monde sur une patinoire de surface horizontale. Il faut tenir compte des frottements.

- **6.** (\*\*) Exprimer le travail de la composante tangentielle  $\overrightarrow{R_T}$  de l'action de la glace sur le palet lors du déplacement du palet.
- 7. (\*\*) Exprimer la distance d' au bout de laquelle le palet s'arrête. Calculer d' lors de l'établissement du record du monde par Aleksandr Riazantsev.

Le coefficient de frottement statique défini dans le document 1 peut être déterminé expérimentalement de la façon suivante : On pose maintenant un solide sur le support S qui fait un angle  $\theta$  avec le plan horizontal. Le dispositif est représenté sur la **figure 2**. On fait augmenter, à partir d'une valeur faible, l'angle  $\theta$  en déplaçant lentement un coin et on mesure pour quelle valeur  $\theta = \theta_{lim}$  le solide 1 se met glisser.

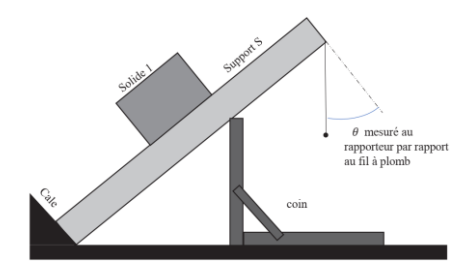
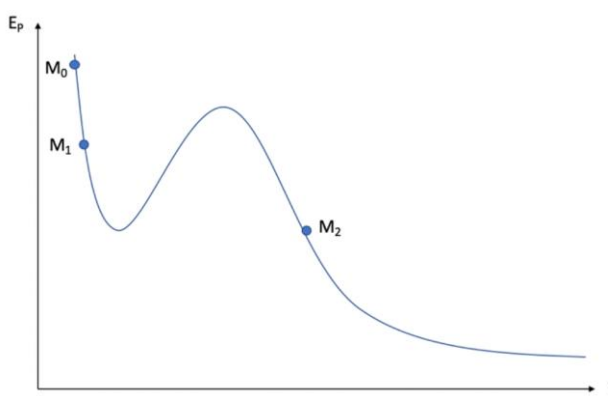


figure 2 : montage expérimental pour déterminer le coefficient de frottement statique

8. (\*\*) Montrer qu'il y a glissement dès que le coefficient de frottement  $f_S$  vaut  $tan\theta_{lim}$ . On réalise plusieurs essais successifs de décrochement et la valeur moyenne de  $\theta_{lim}$  est de l'ordre de 29,5°. En déduire l'ordre de grandeur du coefficient de frottement mesuré.

### Exercice 5 : Équilibres stables et instables

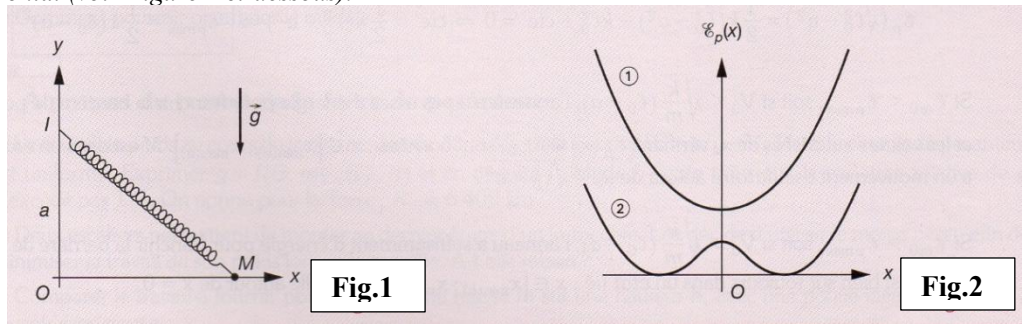
Une particule M soumise à l'action d'une force conservative  $\vec{F}$  est astreinte à se déplacer le long d'un axe horizontal (Ox). Le graphe donnant les variations de l'énergie potentielle en fonction de x est le suivant :



- 1. (\*) Déterminer qualitativement les positions d'équilibre du système. Préciser s'il s'agit de positions stables ou instables.
- 2. (\*) Déterminer une condition sur l'énergie potentielle qui permet d'accéder au domaine spatial du mouvement, c'est-à-dire l'ensemble des positions accessibles à M.
- 3. (\*) Décrire le mouvement de la particule si elle est abandonnée en M<sub>1</sub> sans vitesse initiale. Même question en M<sub>2</sub> puis en M<sub>0</sub>.

### Exercice 6: Etude d'un oscillateur (1)

On s'intéresse au dispositif dans lequel un ressort de raideur k, de longueur au repos  $\ell_0$ , et de masse négligeable, est relié par l'une des extrémités au point fixe I(0,a) et l'autre extrémité à un anneau, assimilé à un point matériel M de masse m, coulissant sans frottement sur un axe Ox horizontal (voir Figure 1 ci-dessous).



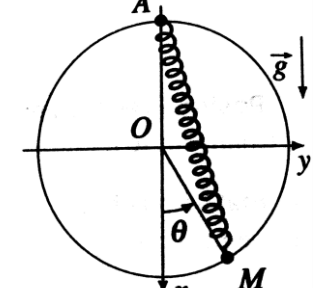
- (\*) Que dire de l'énergie mécanique du point matériel M au cours de son déplacement ?
- (\*\*) Rappeler l'expression de l'énergie potentielle élastique. Montrer alors que l'énergie potentielle du système s'écrit :

$$E_p = \frac{1}{2}kx^2 - k\ell_0(a^2 + x^2)^{\frac{1}{2}} + cste$$

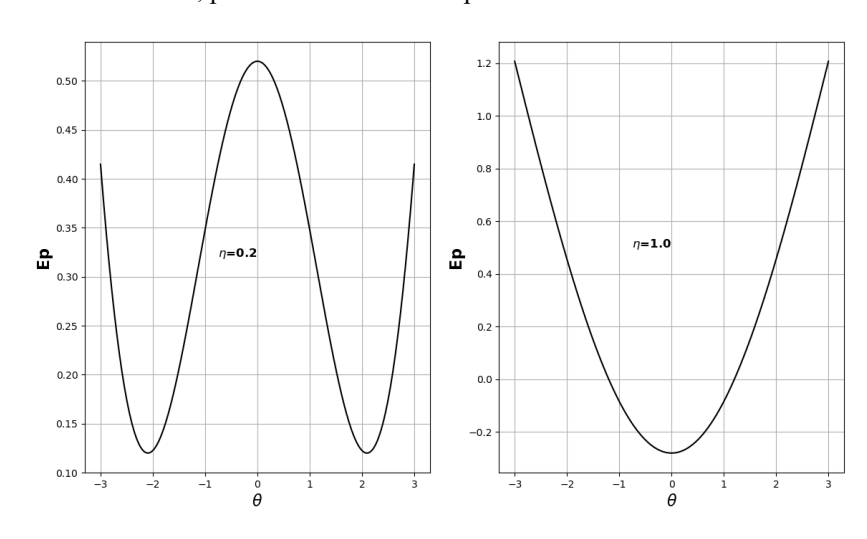
- $E_p = \frac{1}{2}kx^2 k\ell_0(a^2 + x^2)^{\frac{1}{2}} + cste$ (\*\*\*) Déterminer la ou les positions d'équilibre du point matériel M. Montrer que le comportement du système est différent pour  $a < \ell_0$  et pour  $a > \ell_0$ .
- (\*\*) Identifier alors les profils d'énergie potentielle sur la Figure 2 ci-dessus, aux cas décrits à la question précédente. Caractériser la nature stable ou instable des positions d'équilibre identifiées.

# Exercice 6: Etude d'un oscillateur (2)

On considère la situation dans laquelle une particule de masse m peut se déplacer sur un cercle de centre 0 et de rayon a. Elle est reliée au point A le plus haut du cercle par un ressort idéal de constante de raideur k de longueur à vide  $\ell_0$ . On note  $\theta = (\overrightarrow{Ox}, \overrightarrow{OM})$ .



- 1. (\*) Faire un bilan des forces s'exerçant sur la particule en indiquant si ces forces travaillent et si elles sont conservatives.
- 2. (\*\*) On indique que  $AM = 2acos\left(\frac{\theta}{2}\right)$ 
  - a. Exprimer l'énergie potentielle de pesanteur en fonction des données du problème.
  - b. Exprimer l'énergie potentielle élastique en fonction des données du problème.
  - **c.** En déduire l'expression de l'énergie potentielle totale  $E_p$  du point M.
- 3. (\*) Selon les valeurs de  $\eta = \frac{mg}{ka}$ , différentes courbes d'énergie potentielle (données en J) sont obtenues (voir ci-dessous).
  - Discuter des positions d'équilibre et de leur stabilité dans les différents cas.
  - On s'intéresse au cas  $\eta = 1,0$ . L'énergie mécanique du système vaut 0,6 J. Indiquer qualitativement le comportement du système : trajectoire bornée ou non, positions accessibles et positions de vitesse nulle.



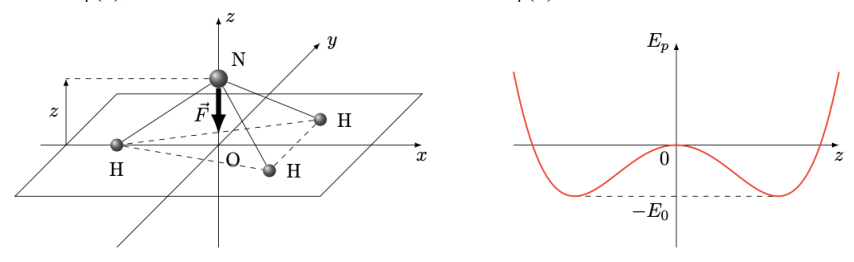
### Exercice 7 : Inversion de la molécule d'ammoniac

Dans un modèle simplifié de la molécule d'ammoniac  $NH_3$ , les trois atomes d'hydrogène H forment la base d'une pyramide dont l'azote N de masse  $m=2,33\times 10^{-26}$  kg occupe le sommet. Les trois atomes d'hydrogène sont fixes dans le référentiel du laboratoire supposé galiléen  $(O, \overrightarrow{u_x}, \overrightarrow{u_y}, \overrightarrow{u_z})$  et définissent le plan (Oxy). L'atome d'azote est en mouvement suivant l'axe  $(O, \overrightarrow{u_z})$  perpendiculaire au plan des atomes d'hydrogène. Il peut passer de part et d'autre de ce plan et sa cote est notée z. Le champ de pesanteur est négligeable pour décrire cette structure atomique et les forces électromagnétiques qui s'exercent sur l'atome d'azote N supposé ponctuel dérivent de l'énergie potentielle :

$$E_p(z) = \beta \left(\frac{z^4}{4} - \frac{a^2 z^2}{2}\right)$$

 $a = 38.7 \text{ pm et } \beta = 4.47 \times 10^{-7} \text{ eV pm}^{-4}$ 

On a tracé ci-dessous l'allure de  $E_p(z)$ , on note - $E_0$  la valeur minimale de  $E_p(z)$ :



- 1. (\*) Établir l'expression générale de la force F(z) qui dérive de l'énergie potentielle  $E_p$ .
- 2. (\*\*) Déterminer les positions d'équilibre de l'atome d'azote et étudier leur stabilité par le calcul. Commenter vos résultats avec le graphe de E<sub>p</sub>(z) en positionnant les différentes positions d'équilibre trouvées.

On s'intéresse à une situation où l'atome d'azote est initialement au repos en z = a. On fournit alors de l'énergie à cet atome, de telle sorte que son énergie mécanique  $E_m$  soit telle que  $E_m \in ]-E_0$ ; 0[.

- 3. (\*\*) Montrer graphiquement que l'atome d'azote oscille alors entre deux valeurs limites z<sub>1</sub> et z<sub>2</sub> qu'on ne cherchera pas à déterminer.
- **4.** (\*\*) Que dire si l'énergie mécanique est strictement positive ?